

УДК 537.84

## ВОЗНИКНОВЕНИЕ КОНВЕКЦИИ В СЛОЕ МНОГОКОМПОНЕНТНОЙ ЖИДКОСТИ ПРИ НАЛИЧИИ ПОСТОЯННОГО МАГНИТНОГО ПОЛЯ

Дж. Пракаш, Р. Кумар, К. Лата

Университет штата Чимачал-Прадеш, 171005 Шимла, Индия

E-mails: jpsmaths67@gmail.com, rajeevkumar2012math@gmail.com, arpitdav05@gmail.com

Получено достаточное условие, при котором происходит изменение типа устойчивости конвекции в магнитогидродинамической многокомпонентной жидкости. Показано, что при наличии возмущений и выполнении указанного достаточного условия в жидкости могут возникнуть колебательные движения. Получены верхние оценки комплексной скорости роста амплитуды колебаний жидкости, в случае если хотя бы одна из границ области, занимаемой жидкостью, является жесткой.

**Ключевые слова:** конвекция в многокомпонентной жидкости, принцип изменения типа устойчивости, колебательные движения, комплексная скорость роста возмущений.

DOI: 10.15372/PMTF20170104

**Введение.** В тех случаях, когда плотность жидкости определяется двумя параметрами стратификации, такими как температура и соленость, изменение которых происходит с различными скоростями, состояние покоя жидкости может быть неустойчивым, даже если ее плотность уменьшается в вертикальном направлении. Это явление, известное как термохалинная, или бидиффузионная (двойная диффузионная), конвекция, хорошо изучено [1–4].

Исследованию бидиффузионной конвекции посвящено большое количество работ [5–7], однако существуют системы, состоящие из трех и более компонентов (затвердевающие жидкие сплавы, ядро Земли, геотермальные озера, морская вода, магма и др.) [2, 8]. Часто для описания таких процессов, как перенос загрязняющих веществ, кислотные дожди, течение подземных вод и нагревание стратосферы, помимо солености требуется учитывать наличие в примеси других диффундирующих компонентов. Задачи с тремя и более параметрами стратификации исследовались в работах [8–16]. Показано, что наличие небольшого количества третьего диффундирующего компонента с меньшим коэффициентом диффузии может оказывать значительное влияние на характер диффузионной неустойчивости. Также были отмечены некоторые существенные различия между двойной и тройной диффузионной конвекцией. Например, если градиенты двух параметров стратификации постоянны, то три критических значения числа Рэлея третьего компонента смеси должны удовлетворять критерию линейной устойчивости (в случае бидиффузионной конвекции

---

Работа выполнена при финансовой поддержке Комиссии по университетским грантам (UGC), Нью-Дели, Индия.

такой критерий определяет только одно критическое значение). Другое различие заключается в том, что в случае наличия свободной границы возникновение конвекции может происходить из исходного неподвижного состояния за счет квазипериодической бифуркации.

В настоящее время тройная диффузионная конвекция также хорошо исследована. Однако, насколько известно авторам данной работы, устойчивость смеси, содержащей более трех компонентов, изучена недостаточно. Возможно, это обусловлено сложностью математических и численных расчетов. В работе [17] с использованием динамических условий на свободной границе получены аналитические решения для случая  $n$  компонентов смеси и численные решения для случая  $n = 5$ . В [12] показано, что результаты расчетов, полученные в случае тройной диффузионной конвекции, можно обобщить на случай  $n$  компонентов при наличии жестких поверхностей. Исследование конвекции в многокомпонентной жидкости проводилось также в работах [18–20].

Из предположения об отсутствии в любой момент времени медленных колебательных движений, которые могут быть нейтральными или неустойчивыми, следует справедливость принципа изменения типа устойчивости. Выполнение этого принципа в задачах устойчивости позволяет исключить нестационарные члены в линейном приближении уравнений возмущения. В работе [21] доказана справедливость принципа изменения типа устойчивости (т. е. возникновение стационарной конвекции) для классической задачи неустойчивости Рэлея — Бенара. В [22] этот принцип доказан для задачи тройной диффузионной конвекции.

Изучение влияния магнитного поля на слой многокомпонентной жидкости имеет большое значение в задачах астрофизики и физики Земли, в которых рассматриваются электропроводные жидкости. В настоящей работе проведен анализ возникновения плавучести, обусловленной конвекцией в слое многокомпонентной жидкости, при наличии постоянного вертикального магнитного поля. Обобщаются известные результаты решения задачи тройной диффузионной конвекции с использованием принципа изменения типа устойчивости [22] и результаты, полученные при оценке комплексной скорости роста амплитуды колебаний (когда они возникают) [23], что особенно важно в тех случаях, когда хотя бы одна граница является жесткой, т. е. решения в замкнутой форме не существует. Насколько известно авторам данной работы, для гидродинамических систем с тремя и более компонентами такие результаты отсутствуют. Полученные в данной работе результаты справедливы для любой комбинации жестких и свободных границ.

**Математическая формулировка задачи.** Вязкая теплопроводная жидкость Бусинеска находится между двумя горизонтальными границами (пластинами)  $z = 0$  и  $z = d$ , на которых поддерживаются постоянные температуры  $T_0, T_1 < T_0$  и постоянные концентрации  $S_{10}, S_{20}, \dots, S_{(n-1)0}, S_{11}, S_{21}, \dots, S_{(n-1)1}$ , причем  $S_{i1} < S_{i0}$  при  $i = 1, \dots, n - 1$ . На жидкость, находящуюся в поле силы тяжести, действует постоянное вертикальное магнитное поле (см. рисунок). Влияние изменения параметров стратификации в поперечном направлении не учитывается.

Основные уравнения, описывающие движение многокомпонентной жидкости под действием постоянного вертикального магнитного поля, имеют вид [24]

$$\frac{\partial u_j}{\partial x_j} = 0; \quad (1)$$

$$\rho \left( \frac{\partial u_i}{\partial t} + u_j \frac{\partial u_i}{\partial x_j} \right) = \rho X_i - \frac{\partial P_1}{\partial x_i} + \frac{\partial}{\partial x_j} \left[ \mu' \left( \frac{\partial u_i}{\partial x_j} + \frac{\partial u_j}{\partial x_i} \right) \right] + \frac{\mu_e H_j}{4\pi} \frac{\partial H_i}{\partial x_j} - \frac{\mu_e}{8\pi} \frac{\partial (H_j H_j)}{\partial x_j}; \quad (2)$$

$$\frac{\partial T}{\partial t} + u_j \frac{\partial T}{\partial x_j} = \kappa \nabla^2 T,$$

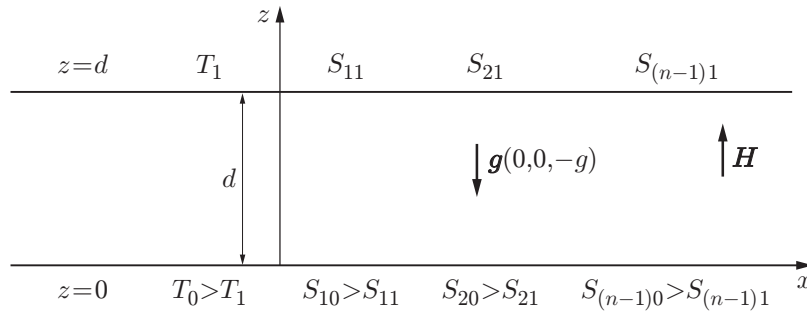


Схема задачи

$$\begin{aligned} \frac{\partial S_1}{\partial t} + u_j \frac{\partial S_1}{\partial x_j} &= \varkappa_1 \nabla^2 S_1, & \frac{\partial S_2}{\partial t} + u_j \frac{\partial S_2}{\partial x_j} &= \varkappa_2 \nabla^2 S_2, & \dots, & (3) \\ \frac{\partial S_{n-1}}{\partial t} + u_j \frac{\partial S_{n-1}}{\partial x_j} &= \varkappa_{n-1} \nabla^2 S_{n-1}, \\ \frac{\partial H_i}{\partial t} + u_j \frac{\partial H_i}{\partial x_j} &= H_j \frac{\partial u_i}{\partial x_j} + \eta \nabla^2 H_i, & \frac{\partial H_i}{\partial x_i} &= 0, \end{aligned}$$

где  $\rho$  — плотность;  $t$  — время;  $x_j$  ( $j = 1, 2, 3$ ) — декартовы координаты  $x, y, z$ ;  $u_j$  ( $j = 1, 2, 3$ ) — компоненты скорости;  $X_i$  ( $i = 1, 2, 3$ ) — компоненты внешней силы в направлениях  $x, y, z$  соответственно;  $P_1$  — давление;  $\mu$  — молекулярная вязкость;  $\mathbf{H} = (H_1, H_2, H_3) = (0, 0, H)$  — напряженность постоянного вертикального магнитного поля;  $T$  — температура;  $\varkappa$  — теплопроводность;  $\mu_e$  — магнитная проницаемость;  $\eta$  — коэффициент диффузии, обусловленный влиянием магнитного поля;  $S_1, S_2, \dots, S_{n-1}$  — концентрации компонентов;  $\varkappa_1, \varkappa_2, \dots, \varkappa_{n-1}$  — коэффициенты диффузии массы компонентов, причем  $\varkappa_1 > \varkappa_2 > \dots > \varkappa_{n-1}$ . С учетом граничных условий выражение для плотности можно представить в виде

$$\rho = \rho_0 [1 + \alpha(T_0 - T) - \alpha_1(S_{10} - S_1) - \alpha_2(S_{20} - S_2) - \dots - \alpha_{n-1}(S_{(n-1)0} - S_{(n-1)})], \quad (4)$$

где  $\alpha, \alpha_1, \alpha_2, \dots, \alpha_{n-1}$  — коэффициенты объемного расширения компонентов смеси, обусловленного изменением температуры и концентрации;  $\rho_0$  — значение  $\rho$  в точке  $z = 0$ .

Уравнение (2) можно упростить:

$$\begin{aligned} \frac{\partial u_i}{\partial t} + u_j \frac{\partial u_i}{\partial x_j} - \frac{\mu_e}{4\pi\rho_0} H_j \frac{\partial H_i}{\partial x_j} &= -\frac{\partial}{\partial x_i} \left( \frac{P_1}{\rho_0} + \frac{\mu_e |H|^2}{8\pi\rho_0} \right) + \\ &+ \left( 1 + \frac{\delta\rho}{\rho_0} + \frac{\delta\rho_1}{\rho_0} + \frac{\delta\rho_2}{\rho_0} + \dots + \frac{\delta\rho_{n-1}}{\rho_0} \right) X_i + \nu \nabla^2 u_i. \quad (5) \end{aligned}$$

Здесь  $\nu = \mu/\rho_0$  — кинематическая вязкость;  $P = P_1/\rho_0 + \mu_e |H|^2/(8\pi\rho_0)$  — магнитогидродинамическое давление.

Предположим, что начальное состояние является стационарным:

$$\begin{aligned} (u, v, w) &\equiv (0, 0, 0), & T &\equiv T(z), & P &\equiv P(z), \\ S_1 &\equiv S_1(z), & S_2 &\equiv S_2(z), & \dots, & S_{n-1} &\equiv S_{n-1}(z), \\ (H_1, H_2, H_3) &\equiv (0, 0, H), & \rho &= \rho(z). \end{aligned}$$

Тогда уравнения (1), (3)–(5) имеют стационарное решение, соответствующее начальному состоянию:

$$(u, v, w) = (0, 0, 0), \quad T = T_0 - \beta z,$$

$$\begin{aligned}
S_1 &= S_{10} - \beta_1 z, \quad S_2 = S_{20} - \beta_2 z, \quad \dots, \quad S_{n-1} = S_{(n-1)0} - \beta_{n-1} z, \\
\rho &= \rho_0(1 + \alpha\beta z - \alpha_1\beta_1 z - \alpha_2\beta_2 z - \dots - \alpha_{n-1}\beta_{n-1} z), \quad (H_1, H_2, H_3) = (0, 0, H), \\
P &= \frac{P_1}{\rho_0} + \frac{\mu_e |H|^2}{8\pi\rho_0} = P_0 - g\rho_0 \left( z + (\alpha\beta - \alpha_1\beta_1 - \alpha_2\beta_2 - \dots - \alpha_{n-1}\beta_{n-1}) \frac{z^2}{2} \right).
\end{aligned}$$

Здесь  $\beta = (\tau_0 - \tau_1)/d$  — равномерно распределенный положительный градиент температуры;  $\beta_1 = (S_{10} - S_{11})/d$ ,  $\beta_2 = (S_{20} - S_{21})/d$ ,  $\dots$ ,  $\beta_{n-1} = (S_{(n-1)0} - S_{(n-1)1})/d$  — неположительные градиенты концентрации;  $H$  — константа;  $P_0$  — значение  $P$  в точке  $z = 0$ .

Для исследования устойчивости системы введем возмущения переменных

$$\begin{aligned}
(\bar{u}, \bar{v}, \bar{w}) &= (0 + u', 0 + v', 0 + w'), \quad \bar{T} = T_0 - \beta z + \theta', \\
\bar{S}_1 &= S_{10} - \beta_1 z + \varphi'_1, \quad \bar{S}_2 = S_{20} - \beta_2 z + \varphi'_2, \quad \dots, \quad \bar{S}_{n-1} = S_{(n-1)0} - \beta_{(n-1)} z + \varphi'_{n-1}, \\
\bar{\rho} &= \rho_0[1 + \alpha(T_0 - T - \theta') - \alpha_1(S_{10} - S_1 - \varphi'_1) - \alpha_2(S_{20} - S_2 - \varphi'_2) - \\
&\quad - \alpha_{n-1}(S_{(n-1)0} - S_{n-1} - \varphi'_{n-1})], \quad (6) \\
\bar{P} &= P_0 - g\rho_0[z + (\alpha\beta - \alpha_1\beta_1 - \alpha_2\beta_2 - \dots - \alpha_{n-1}\beta_{n-1})z^2/2] + \delta P', \\
(\bar{H}_1, \bar{H}_2, \bar{H}_3) &= (0 + h'_x, 0 + h'_y, H + h'_z),
\end{aligned}$$

где величины  $u', v', w', \theta', \varphi'_1, \varphi'_2, \dots, \varphi'_{n-1}, \delta P', h'_x, h'_y, h'_z$  полагаются достаточно малыми.

Подставляя (6) в (1), (3), (5), получаем линеаризованные уравнения для возмущений

$$\begin{aligned}
\frac{\partial u'}{\partial x} + \frac{\partial v'}{\partial y} + \frac{\partial w'}{\partial z} &= 0, \\
\frac{\partial u'}{\partial t} - \frac{\mu_e H}{4\pi\rho_0} \frac{\partial h'_x}{\partial z} &= -\frac{\partial(\delta P')}{\partial x} + \nu\nabla^2 u', \quad \frac{\partial v'}{\partial t} - \frac{\mu_e H}{4\pi\rho_0} \frac{\partial h'_y}{\partial z} = -\frac{\partial(\delta P')}{\partial y} + \nu\nabla^2 v', \\
\frac{\partial w'}{\partial t} - \frac{\mu_e H}{4\pi\rho_0} \frac{\partial h'_z}{\partial z} &= -\frac{\partial(\delta P')}{\partial z} + g(\alpha\theta' - \alpha_1\varphi'_1 - \alpha_2\varphi'_2 - \dots - \alpha_{n-1}\varphi'_{n-1}) + \nu\nabla^2 w', \\
\frac{\partial \theta'}{\partial t} - \beta w' &= \varkappa\nabla^2 \theta', \quad (7) \\
\frac{\partial \varphi'_1}{\partial t} - \beta_1 w' &= \varkappa_1\nabla^2 \varphi'_1, \quad \frac{\partial \varphi'_2}{\partial t} - \beta_2 w' = \varkappa_2\nabla^2 \varphi'_2, \quad \dots, \quad \frac{\partial \varphi'_{n-1}}{\partial t} - \beta_{n-1} w' = \varkappa_{n-1}\nabla^2 \varphi'_{n-1}, \\
\frac{\partial h'_x}{\partial t} &= H \frac{\partial u'}{\partial z} + \eta\nabla^2 h'_x, \quad \frac{\partial h'_y}{\partial t} = H \frac{\partial v'}{\partial z} + \eta\nabla^2 h'_y, \quad \frac{\partial h'_z}{\partial t} = H \frac{\partial w'}{\partial z} + \eta\nabla^2 h'_z, \\
\frac{\partial h'_x}{\partial x} + \frac{\partial h'_y}{\partial y} + \frac{\partial h'_z}{\partial z} &= 0.
\end{aligned}$$

Предположим, что разложение переменных  $u', v', w', \theta', \varphi'_1, \varphi'_2, \dots, \varphi'_{n-1}, \delta P', h'_x, h'_y, h'_z$  по нормальным модам имеет вид

$$F'(x, y, z, t) = F''(z) \exp[i(k_x x + k_y y) + \tilde{n}t], \quad (8)$$

где  $k = \sqrt{k_x^2 + k_y^2}$  — волновое число;  $k_x, k_y$  — вещественные константы;  $\tilde{n}$  — постоянная, которая может являться комплексной. Тогда можно записать следующие выражения:

$$\frac{\partial}{\partial t} = \tilde{n}, \quad \frac{\partial^2}{\partial x^2} + \frac{\partial^2}{\partial y^2} = -k^2, \quad \nabla^2 = \frac{d^2}{dz^2} - k^2. \quad (9)$$

Подставляя (8), (9) в уравнения (7), получаем

$$ik_x u'' + ik_y v'' + \frac{dw''}{dz} = 0; \quad (10)$$

$$\tilde{n}u'' - \frac{\mu_e H}{4\pi\rho_0} \frac{dh_x''}{dz} = -ik_x(\delta P'') + \nu \left( \frac{d^2}{dz^2} - k^2 \right) u'', \quad (11)$$

$$\tilde{n}v'' - \frac{\mu_e H}{4\pi\rho_0} \frac{dh_y''}{dz} = -ik_y(\delta P'') + \nu \left( \frac{d^2}{dz^2} - k^2 \right) v'';$$

$$\begin{aligned} \tilde{n}w'' - \frac{\mu_e H}{4\pi\rho_0} \frac{dh_z''}{dz} = & -\frac{d(\delta P'')}{dz} + g(\alpha\theta'' - \alpha_1\varphi_1'' - \alpha_2\varphi_2'' - \dots - \alpha_{n-1}\varphi_{n-1}'') + \\ & + \nu \left( \frac{d^2}{dz^2} - k^2 \right) w''; \end{aligned} \quad (12)$$

$$\tilde{n}\theta'' - \beta w'' = \varkappa \left( \frac{d^2}{dz^2} - k^2 \right) \theta'',$$

$$\tilde{n}\varphi_1'' - \beta_1 w'' = \varkappa_1 \left( \frac{d^2}{dz^2} - k^2 \right) \varphi_1'', \quad \tilde{n}\varphi_2'' - \beta_2 w'' = \varkappa_2 \left( \frac{d^2}{dz^2} - k^2 \right) \varphi_2'', \quad \dots, \quad (13)$$

$$\tilde{n}\varphi_{n-1}'' - \beta_{n-1} w'' = \varkappa_{n-1} \left( \frac{d^2}{dz^2} - k^2 \right) \varphi_{n-1}'';$$

$$\tilde{n}h_x'' = H \frac{du''}{dz} + \eta \left( \frac{d^2}{dz^2} - k^2 \right) h_x'', \quad \tilde{n}h_y'' = H \frac{dv''}{dz} + \eta \left( \frac{d^2}{dz^2} - k^2 \right) h_y'';$$

$$\tilde{n}h_z'' = H \frac{dw''}{dz} + \eta \left( \frac{d^2}{dz^2} - k^2 \right) h_z''; \quad (14)$$

$$ik_x h_x'' + ik_y h_y'' + \frac{dh_z''}{dz} = 0.$$

Используя (10), исключим  $u''$  и  $v''$  из уравнений (11). Исключая  $\delta P''$  из полученного уравнения и уравнения (12), находим

$$\begin{aligned} \left( \frac{d^2}{dz^2} - k^2 \right) \left( \frac{d^2}{dz^2} - k^2 - \frac{\tilde{n}}{\nu} \right) w'' = & g \left( \frac{\alpha k^2 \theta''}{\nu} - \frac{\alpha_1 k^2 \varphi_1''}{\nu} - \frac{\alpha_2 k^2 \varphi_2''}{\nu} - \dots - \frac{\alpha_{n-1} k^2 \varphi_{n-1}''}{\nu} \right) - \\ & - \frac{\mu_e H}{4\pi\rho_0\nu} \frac{d}{dz} \left( \frac{d^2}{dz^2} - k^2 \right) h_z''. \end{aligned} \quad (15)$$

Уравнения (13), (14) можно записать следующим образом:

$$\begin{aligned} \left( \frac{d^2}{dz^2} - k^2 - \frac{\tilde{n}}{\varkappa} \right) \theta'' = \frac{\beta}{\varkappa} w'', \quad \left( \frac{d^2}{dz^2} - k^2 - \frac{\tilde{n}}{\varkappa_1} \right) \varphi_1'' = \frac{\beta_1}{\varkappa_1} w'', \\ \left( \frac{d^2}{dz^2} - k^2 - \frac{\tilde{n}}{\varkappa_2} \right) \varphi_2'' = \frac{\beta_2}{\varkappa_2} w'', \quad \dots, \quad \left( \frac{d^2}{dz^2} - k^2 - \frac{\tilde{n}}{\varkappa_{n-1}} \right) \varphi_{n-1}'' = -\frac{\beta_{n-1}}{\varkappa_{n-1}} w'', \quad (16) \\ \left( \frac{d^2}{dz^2} - k^2 - \frac{\tilde{n}}{\eta} \right) h_z'' = -\frac{H}{\eta} \frac{dw''}{dz}. \end{aligned}$$

Вводя безразмерные величины

$$z_* = \frac{z}{d}, \quad \tau_{1*} = \frac{\varkappa_1}{\varkappa}, \quad \tau_{2*} = \frac{\varkappa_2}{\varkappa}, \quad \dots, \quad \tau_{(n-1)*} = \frac{\varkappa_{(n-1)}}{\varkappa}, \quad \sigma_* = \frac{\nu}{\varkappa}, \quad D_* = d \frac{d}{dz}, \quad p_* = \frac{\tilde{n}d^2}{\varkappa},$$

$$a_* = kd, \quad R_* = \frac{g\alpha\beta d^4}{\varkappa\nu}, \quad R_{1*} = \frac{g\alpha_1\beta_1 d^4}{\varkappa\nu}, \quad R_{2*} = \frac{g\alpha_2\beta_2 d^4}{\varkappa\nu}, \quad \dots, \quad R_{(n-1)*} = \frac{g\alpha_{n-1}\beta_{n-1} d^4}{\varkappa\nu},$$

$$w_* = \frac{\beta d^2}{\varkappa} w'', \quad \theta_* = \theta'', \quad \varphi_{1*} = \frac{\beta}{\beta_1} \varphi_1'', \quad \varphi_{2*} = \frac{\beta}{\beta_2} \varphi_2'', \quad \dots, \quad \varphi_{(n-1)*} = \frac{\beta}{\beta_{n-1}} \varphi_{n-1}'',$$

$$\sigma_{1*} = \frac{\nu_0}{\eta}, \quad h_{z*} = \frac{\eta\beta d}{H\varkappa} h_z'',$$

уравнения (15), (16) можно свести к безразмерным уравнениям (опуская индекс “\*”):

$$(D^2 - a^2) \left( D^2 - a^2 - \frac{p}{\sigma} \right) w = Ra^2\theta - R_1 a^2 \varphi_1 - R_2 a^2 \varphi_2 - \dots$$

$$\dots - R_{n-1} a^2 \varphi_{n-1} - QD(D^2 - a^2)h_z; \quad (17)$$

$$(D^2 - a^2 - p)\theta = -w; \quad (18)$$

$$\left( D^2 - a^2 - \frac{p}{\tau_1} \right) \varphi_1 = -\frac{w}{\tau_1}; \quad (19)$$

$$\left( D^2 - a^2 - \frac{p}{\tau_2} \right) \varphi_2 = -\frac{w}{\tau_2}; \quad (20)$$

$$\dots \dots \dots$$

$$\left( D^2 - a^2 - \frac{p}{\tau_{n-1}} \right) \varphi_{n-1} = -\frac{w}{\tau_{n-1}}; \quad (21)$$

$$\left( D^2 - a^2 - \frac{p\sigma_1}{\sigma} \right) h_z = -Dw. \quad (22)$$

Для уравнений (17)–(22) ставятся следующие граничные условия:

— на обеих горизонтальных границах, т. е. в точках  $z = 0$  и  $z = 1$ ,

$$w = 0 = \theta = \varphi_1 = \varphi_2 = \dots = \varphi_{n-1}; \quad (23)$$

— на жесткой границе

$$Dw = 0; \quad (24)$$

— на свободной границе

$$D^2w = 0; \quad (25)$$

— на обеих горизонтальных границах, в случае если область вне жидкости является идеально проводящей,

$$h_z = 0; \quad (26)$$

— на верхней и нижней границах, в случае если область вне жидкости изолирована,

$$Dh_z = \mp ah_z. \quad (27)$$

В (17)–(27)  $z$  — вертикальная координата;  $D = d/dz$  — производная по  $z$ ;  $a^2 > 0$  — квадрат волнового числа;  $\sigma > 0$  — число Прандтля (для воздуха  $\sigma \approx 0,7$ , для воды  $\sigma \approx 7$ , для ртути  $\sigma \approx 0,044$ , для глицерина  $\sigma \approx 7250$ );  $\sigma_1$  — магнитное число Прандтля (для многих материалов  $\sigma_1 \ll 1$  [25, 26]);  $0 < \tau_i < 1$  ( $i = 1, \dots, n - 1$ ) — числа Льюиса [11];  $Q > 0$  — число Чандрасекхара;  $R > 0$  — тепловое число Рэлея, соответствующее плавучести (для жидкости, у которой число Рэлея меньше критического, перенос тепла происходит в основном за счет теплопроводности, в противном случае перенос тепла происходит за счет конвекции);  $R_i > 0$  ( $i = 1, \dots, n - 1$ ) — концентрационные числа Рэлея;  $h_z$  — вертикальная компонента возмущения внешнего магнитного поля;  $p = p_r + ip_i$  — комплексная скорость роста амплитуды колебаний;  $p_r, p_i$  — вещественные постоянные;  $w$  — ускорение в вертикальном направлении;  $\theta$  — температура;  $\varphi_1, \varphi_2, \dots, \varphi_{n-1}$  — концентрации компонентов. Следует отметить, что уравнения (17)–(27) являются задачей на собственные значения для  $p$ .

**Теорема 1.** Если функции  $w, \theta, \varphi_1, \varphi_2, \dots, \varphi_{n-1}, h_z, p, R > 0, R_1 > 0, R_2 > 0, \dots, R_{n-1} > 0, Q > 0, p_r \geq 0$  являются решением задачи (17)–(22) с граничными условиями (23)–(27) и

$$\frac{R_1\sigma}{2\tau_1^2\pi^4} + \frac{R_2\sigma}{2\tau_2^2\pi^4} + \dots + \frac{R_{n-1}\sigma}{2\tau_{n-1}^2\pi^4} + \frac{Q\sigma_1}{\pi^2} \leq 1,$$

то  $p_i = 0$ . В частности,

$$p_r = 0 \quad \Rightarrow \quad p_i = 0,$$

если

$$\frac{R_1\sigma}{2\tau_1^2\pi^4} + \frac{R_2\sigma}{2\tau_2^2\pi^4} + \dots + \frac{R_{n-1}\sigma}{2\tau_{n-1}^2\pi^4} + \frac{Q\sigma_1}{\pi^2} \leq 1.$$

**ДОКАЗАТЕЛЬСТВО.** Умножая уравнение (17) на  $w^*$  (далее индекс “\*” означает комплексное сопряжение) и интегрируя полученное уравнение по вертикальной области  $z$ , получаем

$$\begin{aligned} \int_0^1 w^*(D^2 - a^2) \left( D^2 - a^2 - \frac{p}{\sigma} \right) w dz &= Ra^2 \int_0^1 w^* \theta dz - R_1 a^2 \int_0^1 w^* \varphi_1 dz - \\ &- R_2 a^2 \int_0^1 w^* \varphi_2 dz - \dots - R_{n-1} a^2 \int_0^1 w^* \varphi_{n-1} dz - Q \int_0^1 w^* D(D^2 - a^2) h_z dz. \end{aligned}$$

Используя уравнения (18)–(22), можно записать

$$\begin{aligned} \int_0^1 w^*(D^2 - a^2) \left( D^2 - a^2 - \frac{p}{\sigma} \right) w dz &= -Ra^2 \int_0^1 \theta(D^2 - a^2 - p^*) \theta^* dz + \\ &+ R_1 a^2 \tau_1 \int_0^1 \varphi_1 \left( D^2 - a^2 - \frac{p^*}{\tau_1} \right) \varphi_1^* dz + R_2 a^2 \tau_2 \int_0^1 \varphi_2 \left( D^2 - a^2 - \frac{p^*}{\tau_2} \right) \varphi_2^* dz + \dots \\ &\dots + R_{n-1} a^2 \tau_{n-1} \int_0^1 \varphi_{n-1} \left( D^2 - a^2 - \frac{p^*}{\tau_{n-1}} \right) \varphi_{n-1}^* dz - \\ &- Q \int_0^1 \left( D^2 - a^2 - \frac{p^* \sigma_1}{\sigma} \right) h_z^* (D^2 - a^2) h_z dz. \quad (28) \end{aligned}$$

Интегрируя (28) по частям необходимое количество раз с использованием граничных условий (23)–(27), получаем

$$\begin{aligned} \int_0^1 (|D^2 w|^2 + 2a^2 |Dw|^2 + a^4 |w|^2) dz + \frac{p}{\sigma} \int_0^1 (|Dw|^2 + a^2 |w|^2) dz &= \\ = Ra^2 \int_0^1 (|D\theta|^2 + a^2 |\theta|^2 + p^* |\theta|^2) dz - R_1 a^2 \tau_1 \int_0^1 (|D\varphi_1|^2 + a^2 |\varphi_1|^2 + \frac{p^*}{\tau_1} |\varphi_1|^2) dz - \end{aligned}$$

$$\begin{aligned}
& - R_2 a^2 \tau_2 \int_0^1 \left( |D\varphi_2|^2 + a^2 |\varphi_2|^2 + \frac{p^*}{\tau_2} |\varphi_2|^2 \right) dz - \dots \\
& \dots - R_{n-1} a^2 \tau_{n-1} \int_0^1 \left( |D\varphi_{n-1}|^2 + a^2 |\varphi_{n-1}|^2 + \frac{p^*}{\tau_{n-1}} |\varphi_{n-1}|^2 \right) dz - \\
& - Q \int_0^1 |(D^2 - a^2)h_z|^2 dz - \frac{Qp^*\sigma_1}{\sigma} \left( a[(|h_z|^2)_0 + (|h_z|^2)_1] + \int_0^1 (|Dh_z|^2 + a^2|h_z|^2) dz \right). \quad (29)
\end{aligned}$$

Оставляя мнимую часть уравнения (29) и деля обе части на  $p_i \neq 0$ , находим

$$\begin{aligned}
\frac{1}{\sigma} \int_0^1 (|Dw|^2 + a^2|w|^2) dz &= -Ra^2 \int_0^1 |\theta|^2 dz + R_1 a^2 \int_0^1 |\varphi_1|^2 dz + R_2 a^2 \int_0^1 |\varphi_2|^2 dz + \dots \\
& \dots + R_{n-1} a^2 \int_0^1 |\varphi_{n-1}|^2 dz + \frac{Q\sigma_1}{\sigma} \left( a[(|h_z|^2)_0 + (|h_z|^2)_1] + \int_0^1 (|Dh_z|^2 + a^2|h_z|^2) dz \right). \quad (30)
\end{aligned}$$

Из уравнения (19) следует равенство

$$\int_0^1 \left( D^2 - a^2 - \frac{p}{\tau_1} \right) \varphi_1 \left( D^2 - a^2 - \frac{p^*}{\tau_1} \right) \varphi_1^* dz = \frac{1}{\tau_1^2} \int_0^1 |w|^2 dz. \quad (31)$$

Интегрируя левую часть уравнения (31) по частям необходимое число раз с использованием граничных условий для  $\varphi_1$ , получаем

$$\begin{aligned}
\int_0^1 (|D^2\varphi_1|^2 + 2a^2|D\varphi_1|^2 + a^4|\varphi_1|^2) dz + \frac{2p_r}{\tau_1} \int_0^1 (|D\varphi_1|^2 + a^2|\varphi_1|^2) dz + \\
+ \frac{|p|^2}{\tau_1^2} \int_0^1 |\varphi_1|^2 dz = \frac{1}{\tau_1^2} \int_0^1 |w|^2 dz. \quad (32)
\end{aligned}$$

Так как  $p_r \geq 0$ , то из (32) следует

$$2a^2 \int_0^1 |D\varphi_1|^2 dz \leq \frac{1}{\tau_1^2} \int_0^1 |w|^2 dz. \quad (33)$$

Поскольку  $\varphi_1, \varphi_2, \dots, \varphi_{n-1}$  и  $w$  удовлетворяют граничным условиям  $\varphi_1(0) = 0 = \varphi_1(1)$ ,  $\varphi_2(0) = 0 = \varphi_2(1), \dots, \varphi_{n-1}(0) = 0 = \varphi_{n-1}(1)$ ,  $w(0) = 0 = w(1)$ , в силу неравенства Рэлея — Ритца [27] имеем

$$\begin{aligned}
\int_0^1 |D\varphi_1|^2 dz &\geq \pi^2 \int_0^1 |\varphi_1|^2 dz; \quad (34) \\
\int_0^1 |D\varphi_2|^2 dz &\geq \pi^2 \int_0^1 |\varphi_2|^2 dz, \quad \dots, \quad \int_0^1 |D\varphi_{n-1}|^2 dz \geq \pi^2 \int_0^1 |\varphi_{n-1}|^2 dz;
\end{aligned}$$



$$\int_0^1 |Dw|^2 dz \geq \pi^2 \int_0^1 |w|^2 dz. \quad (35)$$

Подставляя неравенства (34), (35) в (33), получаем

$$a^2 \int_0^1 |\varphi_1|^2 dz \leq \frac{1}{2\tau_1^2 \pi^4} \int_0^1 |Dw|^2 dz. \quad (36)$$

Аналогично из (20), (21) получаем неравенства

$$a^2 \int_0^1 |\varphi_2|^2 dz \leq \frac{1}{2\tau_2^2 \pi^4} \int_0^1 |Dw|^2 dz, \quad \dots, \quad a^2 \int_0^1 |\varphi_{n-1}|^2 dz \leq \frac{1}{2\tau_{n-1}^2 \pi^4} \int_0^1 |Dw|^2 dz. \quad (37)$$

Умножая (22) на  $h_z^*$  и интегрируя по частям с использованием граничных условий (23)–(27), для вещественной части получаем уравнение

$$\begin{aligned} a[(|h_z|^2)_0 + (|h_z|^2)_1] + \int_0^1 \left( |Dh_z|^2 + a^2 |h_z|^2 + \frac{p_r \sigma_1}{\sigma} |h_z|^2 \right) dz &= \operatorname{Re} \int_0^1 h_z^* Dw dz = \\ &= -\operatorname{Re} \int_0^1 (Dh_z^*) w dz \leq \left| \int_0^1 (Dh_z^*) w dz \right| \leq \int_0^1 |Dh_z| |w| dz \leq \\ &\leq \left( \int_0^1 |Dh_z|^2 dz \right)^{1/2} \left( \int_0^1 |w|^2 dz \right)^{1/2}. \end{aligned} \quad (38)$$

Так как  $p_r \geq 0$ , то из (38) находим

$$\int_0^1 |Dh_z|^2 dz \leq \left( \int_0^1 |Dh_z|^2 dz \right)^{1/2} \left( \int_0^1 |w|^2 dz \right)^{1/2},$$

откуда следует

$$\left( \int_0^1 |Dh_z|^2 dz \right)^{1/2} \leq \left( \int_0^1 |w|^2 dz \right)^{1/2}. \quad (39)$$

Подставляя неравенства (35), (39) в неравенство (38), получаем

$$a[(|h_z|^2)_0 + (|h_z|^2)_1] + \int_0^1 (|Dh_z|^2 + a^2 |h_z|^2) dz \leq \int_0^1 |w|^2 dz \leq \frac{1}{\pi^2} \int_0^1 |Dw|^2 dz. \quad (40)$$

В силу неравенств (36), (37), (40) из (30) находим

$$\left[ \frac{1}{\sigma} - \left( \frac{R_1}{2\tau_1^2 \pi^4} + \frac{R_2}{2\tau_2^2 \pi^4} + \dots + \frac{R_{n-1}}{2\tau_{n-1}^2 \pi^4} + \frac{Q\sigma_1}{\pi^2} \right) \right] \int_0^1 |Dw|^2 dz + \frac{a^2}{\sigma} \int_0^1 |w|^2 dz + Ra^2 \int_0^1 |\theta|^2 dz < 0,$$

откуда следует (при  $p_i \neq 0$ )

$$\frac{R_1\sigma}{2\tau_1^2\pi^4} + \frac{R_2\sigma}{2\tau_2^2\pi^4} + \dots + \frac{R_{n-1}\sigma}{2\tau_{n-1}^2\pi^4} + \frac{Q\sigma_1}{\pi^2} > 1.$$

Таким образом, если

$$\frac{R_1\sigma}{2\tau_1^2\pi^4} + \frac{R_2\sigma}{2\tau_2^2\pi^4} + \dots + \frac{R_{n-1}\sigma}{2\tau_{n-1}^2\pi^4} + \frac{Q\sigma_1}{\pi^2} \leq 1,$$

то  $p_i = 0$ . Теорема доказана.

Из теоремы 1 следует, что для рассматриваемой задачи конвекции магнитогидродинамической многокомпонентной жидкости произвольная нейтральная или неустойчивая мода имеет не колебательный характер, в частности при

$$\frac{R_1\sigma}{2\tau_1^2\pi^4} + \frac{R_2\sigma}{2\tau_2^2\pi^4} + \dots + \frac{R_{n-1}\sigma}{2\tau_{n-1}^2\pi^4} + \frac{Q\sigma_1}{\pi^2} \leq 1$$

справедлив принцип изменения типа устойчивости.

**Частные случаи теоремы 1.** Из теоремы 1 следует, что произвольная нейтральная или неустойчивая мода имеет не колебательный характер и справедлив принцип изменения типа устойчивости для следующих типов конвекции:

- 1) конвекция Рэлея — Бенара ( $R_1 = R_2 = \dots = R_{n-1} = Q = 0$ ) [21];
- 2) магнитогидродинамическая конвекция Рэлея — Бенара ( $R_1 = R_2 = \dots = R_{n-1} = 0$ ) при  $Q\sigma_1/\pi^2 \leq 1$  [28];
- 3) магнитогидродинамическая термохалинная конвекция ( $R_1 > 0, R_2 = \dots = R_{n-1} = 0$ ) при  $R_1\sigma/(2\tau_1^2\pi^4) + Q\sigma_1/\pi^2 \leq 1$  [28];
- 4) термохалинная конвекция ( $R_1 > 0, R_2 = \dots = R_{n-1} = Q = 0$ ) при  $R_1\sigma/(2\tau_1^2\pi^4) \leq 1$  [28];
- 5) тройная диффузионная конвекция ( $R_1 > 0, R_2 > 0, R_3 = \dots = R_{n-1} = Q = 0$ ) при  $R_1\sigma/(2\tau_1^2\pi^4) + R_2\sigma/(2\tau_2^2\pi^4) \leq 1$  [22].

Таким образом можно получить условия стационарной конвекции для любого количества компонентов жидкости.

Поскольку при  $Q > 0$  возникают колебательные движения, необходимо получить оценки комплексной скорости роста осцилляций.

**Теорема 2.** Если  $R > 0, R_1 > 0, R_2 > 0, \dots, R_{n-1} > 0, Q > 0, p_r \geq 0, p_i \neq 0$ , то необходимым условием существования нетривиального решения ( $w, \theta, \varphi_1, \varphi_2, \dots, \varphi_{n-1}, h_z, p$ ) уравнений (17)–(22) с граничными условиями (23)–(27) является неравенство

$$|p| < \max \left\{ \sqrt{(R_1 + R_2 + \dots + R_{n-1})\sigma}, Q\sigma \right\}.$$

**ДОКАЗАТЕЛЬСТВО.** Так как  $p_r \geq 0$ , то из уравнения (32) следует

$$\int_0^1 |\varphi_1|^2 dz \leq \frac{1}{|p|^2} \int_0^1 |w|^2 dz. \quad (41)$$

Аналогично из (20), (21) получаем

$$\int_0^1 |\varphi_2|^2 dz \leq \frac{1}{|p|^2} \int_0^1 |w|^2 dz, \quad \dots, \quad \int_0^1 |\varphi_{n-1}|^2 dz \leq \frac{1}{|p|^2} \int_0^1 |w|^2 dz. \quad (42)$$

Умножая уравнение (22) на комплексно-сопряженное с ним уравнение и интегрируя по частям необходимое число раз с использованием граничных условий (23)–(27), получаем

$$\int_0^1 |(D^2 - a^2)h_z|^2 dz + \frac{2pr\sigma_1}{\sigma} \left( a[ (|h_z|^2)_0 + (|h_z|^2)_1 ] + \int_0^1 (|Dh_z|^2 + a^2|h_z|^2) dz \right) + \frac{|p|^2\sigma_1^2}{\sigma^2} \int_0^1 |h_z|^2 dz = \int_0^1 |Dw|^2 dz. \quad (43)$$

Поскольку  $p_r \geq 0$ , из (43) следует

$$\int_0^1 |h_z|^2 dz < \frac{\sigma^2}{|p|^2\sigma_1^2} \int_0^1 |Dw|^2 dz, \quad \int_0^1 |(D^2 - a^2)h_z|^2 dz \leq \int_0^1 |Dw|^2 dz. \quad (44)$$

Используя неравенства (44), получаем

$$\begin{aligned} a[ (|h_z|^2)_0 + (|h_z|^2)_1 ] + \int_0^1 (|Dh_z|^2 + a^2|h_z|^2) dz &= - \int_0^1 h_z^*(D^2 - a^2)h_z dz \leq \\ &\leq \left| \int_0^1 h_z^*(D^2 - a^2)h_z dz \right| \leq \int_0^1 |h_z^*| |(D^2 - a^2)h_z| dz \leq \\ &\leq \left( \int_0^1 |h_z|^2 dz \right)^{1/2} \left( \int_0^1 |(D^2 - a^2)h_z|^2 dz \right)^{1/2} \leq \frac{\sigma}{|p|\sigma_1} \int_0^1 |Dw|^2 dz. \end{aligned} \quad (45)$$

В силу (41), (42), (45) из уравнения (30) находим неравенство

$$\frac{1}{\sigma} \left( 1 - \frac{Q\sigma}{|p|} \right) \int_0^1 |Dw|^2 dz + \frac{a^2}{\sigma} \left( 1 - \frac{(R_1 + R_2 + \dots + R_{n-1})\sigma}{|p|^2} \right) \int_0^1 |w|^2 dz + Ra^2 \int_0^1 |\theta|^2 dz < 0,$$

из которого следует

$$|p| < \max \left\{ \sqrt{(R_1 + R_2 + \dots + R_{n-1})\sigma}, Q\sigma \right\}.$$

Теорема доказана.

Теорему 2 можно сформулировать следующим образом: значение комплексной скорости роста амплитуды произвольного, нейтрального или неустойчивого колебательного возмущения в магнитогидродинамической многокомпонентной жидкости, нагреваемой снизу, должно находиться в правой части плоскости  $(p_r, p_i)$  внутри полукруга, центр которого расположен в начале координат и радиус которого равен  $\max \left\{ \sqrt{(R_1 + R_2 + \dots + R_{n-1})\sigma}, Q\sigma \right\}$ .

**Частные случаи теоремы 2.** Из теоремы 2 следует ряд частных случаев для полученной оценки:

1) для магнитогидродинамической конвекции Рэлея — Бенара ( $R_1 = 0 = R_2 = \dots = R_{n-1} = 0, Q > 0$ )  $|p|^2 < Q^2\sigma^2$  [29];

2) для термохалинной конвекции ( $R_1 > 0, R_2 = \dots = R_{n-1} = Q = 0$ )  $|p| < \sqrt{R_1\sigma}$  [29];

3) для магнитогидродинамической термохалинной конвекции типа конвекции Верониса ( $R_1 > 0$ ,  $R_2 = \dots = R_{n-1} = 0$ ,  $Q > 0$ ) [2]  $|p|^2 < \max(R_1\sigma, Q^2\sigma^2)$  [30];

4) для тройной диффузионной конвекции ( $R_1 > 0$ ,  $R_2 > 0$ ,  $R_3 = \dots = R_{n-1} = Q = 0$ )  $|p|^2 < (R_1 + R_2)\sigma$  [23].

Аналогично можно получить оценки комплексной скорости роста осцилляций для любого количества компонентов.

**Выводы.** Проведенное исследование позволяет обобщить ранее полученные результаты на случаи диффузионной, двойной и тройной диффузионной конвекции. Получено достаточное условие, при котором справедлив принцип изменения типа устойчивости конвекции в магнитогидродинамической многокомпонентной жидкости. Получены оценки комплексной скорости роста осцилляций.

## ЛИТЕРАТУРА

1. **Turner J. S.** Double diffusive phenomena // *Annual Rev. Fluid Mech.* 1974. V. 6. P. 37–56.
2. **Turner J. S.** Buoyancy effects in fluids. Cambridge: Cambridge Univ. Press, 1973.
3. **Brandt A.** Double diffusive convection / A. Brandt, H. J. S. Fernando. Washington: Amer. Geophys. Union, 1996.
4. **Radko T.** Double-diffusive convection. Cambridge: Cambridge Univ. Press, 2013.
5. **Kellner M., Tilgner A.** Transition to finger convection in double diffusive convection // *Phys. Fluids.* 2014. V. 26. 094103.
6. **Nield D. A., Kuznetsov A. V.** The onset of double-diffusive convection in a nanofluid layer // *Intern. J. Heat Fluid Flow.* 2011. V. 32, N 4. P. 771–776.
7. **Schmitt R. W.** Thermohaline convection at density ratios below one: A new regime for salt fingers // *J. Marine Res.* 2011. V. 69. P. 779–795.
8. **Griffiths R. W.** The influence of a third diffusing component upon the onset of convection // *J. Fluid Mech.* 1979. V. 92. P. 659–670.
9. **Griffiths R. W.** A note on the formation of salt finger and diffusive interfaces in three component systems // *Intern. J. Heat Mass Transfer.* 1979. V. 22. P. 1687–1693.
10. **Turner J. S.** Multicomponent convection // *Annual Rev. Fluid Mech.* 1985. V. 17. P. 11–44.
11. **Pearlstein A. J., Harris R. M., Terrones G.** The onset of convective instability in a triply diffusive fluid layer // *J. Fluid Mech.* 1989. V. 202. P. 443–465.
12. **Lopez A. R., Romero L. A., Pearlstein A. J.** Effect of rigid boundaries on the onset of convective instability in a triply diffusive fluid layer // *Phys. Fluids A.* 1990. V. 2, N 6. P. 897–902.
13. **Terrones G.** Cross-diffusion effects on the stability criteria in a triply diffusive system // *Phys. Fluids A.* 1993. V. 5, N 9. P. 2172–2182.
14. **Rionero S.** Triple diffusive convection in porous media // *Acta Mech.* 2013. V. 224. P. 447–458.
15. **Rionero S.** Multicomponent diffusive-convective fluid motions in porous layers ultimately boundedness, absence of subcritical instabilities, and global nonlinear stability for any number of salts // *Phys. Fluids.* 2013. V. 25. 054104.
16. **Shivakumara I. S., Naveen Kumar S. B.** Linear and weakly nonlinear triple diffusive convection in a couple stress fluid layer // *Intern. J. Heat Mass Transfer.* 2014. V. 68. P. 542–553.
17. **Terrones G., Pearlstein A. J.** The onset of convection in a multicomponent fluid layer // *Phys. Fluids A.* 1989. V. 1, N 5. P. 845–853.
18. **Ryzhkov I. I., Shevtsova V. M.** On thermal diffusion and convection in multicomponent mixtures with application to the thermogravitational column // *Phys. Fluids.* 2007. V. 19. 027101.

19. **Ryzhkov I. I., Shevtsova V. M.** Long wave instability of a multicomponent fluid layer with the Soret effect // *Phys. Fluids*. 2009. V. 21. 014102.
20. **Ryzhkov I. I.** Long-wave instability of a plane multicomponent mixture layer with the Soret effect // *Fluid Dynamics*. 2013. V. 4, N 48. P. 477–490.
21. **Pellew A., Southwell R. V.** On the maintained convective motion in a fluid heated from below // *Proc. Roy. Soc. London. Ser. A*. 1940. V. 176. P. 312–343.
22. **Prakash J., Bala R., Vaid K.** On the characterization of nonoscillatory motions in triply diffusive convection // *Intern. J. Fluid Mech. Res.* 2014. V. 41, N 5. P. 409–416.
23. **Prakash J., Bala R., Vaid K.** Upper limits to the complex growth rates in triply diffusive convection // *Proc. Indian Nat. Sci. Acad.* 2014. V. 80, N 1. P. 115–122.
24. **Prakash J., Bala R., Vaid K.** On characterization of magnetohydrodynamic triply diffusive convection // *J. Magnetism Magnetic Materials*. 2015. V. 377. P. 378–385.
25. **Yousef T. A., Brandenburg A., Rudiger G.** Turbulent magnetic Prandtl number and magnetic diffusivity quenching from simulations // *Astronomy Astrophys.* 2003. V. 411. P. 321–327.
26. **Herron I., Goodman J.** The small magnetic Prandtl number approximation suppresses magnetorotational instability // *Z. angew. Math. Phys.* 2006. Bd 57. S. 615–622.
27. **Schultz M. H.** Spline analysis. Englewood Cliffs: Prentice-Hall, 1973.
28. **Gupta J. R., Sood S. K., Bhardwaj U. D.** On the characterization of nonoscillatory motions in a rotatory hydromagnetic thermohaline convection // *Indian J. Appl. Math.* 1986. V. 17, N 1. P. 100–107.
29. **Banerjee M. B., Katoch D. C., Dube G. S., Banerjee K.** Bounds for growth rate of perturbation in thermohaline convection // *Proc. Roy. Soc. London. Ser. A*. 1981. V. 378. P. 301–304.
30. **Gupta J. R., Sood S. K., Shandil R. G., et al.** Bounds for the growth of a perturbation in some double-diffusive convection problems // *J. Austral. Math. Soc. Ser. B*. 1983. V. 25, iss. 2. P. 276–285.

*Поступила в редакцию 15/І 2015 г.,  
в окончательном варианте — 1/VI 2015 г.*

---